

## تأثیر مشخصات خاک و زاویه عبوری از گسل بر پاسخ لوله‌های مدفون

غلامرضا نوری\*؛ دانشگاه خوارزمی، دانشکده فنی مهندسی  
مهندی بالو؛ دانشگاه محقق اردبیلی

تاریخ: دریافت ۹۲/۷/۳ پذیرش ۹۳/۴/۱۶

### چکیده

در این مقاله پارامترهای مؤثر بر رفتار لوله‌های مدفون از جمله طول مهاری، زاویه اصطکاک داخلی خاک، زاویه عبوری لوله و میزان جابه‌جایی گسل نرمال بررسی شده است. برای مدل‌سازی لوله و خاک اطراف آن، از مدل تیر- فنر غیرخطی و برای مدل‌سازی خاک نیز از شبیه‌سازی آن با فنرهای غیرخطی در سه جهت محوری، جانبی و عمودی استفاده شده است. پس از تعیین طول مهاری مناسب، تأثیر نوع خاک بر حسب تغییر زاویه اصطکاک بررسی شد که نتایج نشان داد با افزایش زاویه اصطکاک داخلی خاک، میزان کرنش بیشینه و مقادیر نیرو و لنگر افزایش می‌یابند. مقایسه لنگر خمشی برای زوایای اصطکاک ۲۰ و ۴۰ درجه بیان‌گر افزایش حدود ۳۰ درصدی است. هم‌چنین نتایج نشان داد با افزایش زاویه عبوری تا حدود ۵۵ درجه، مقادیر کرنش‌های بیشینه روند نزولی داشته و پس از آن کرنش بیشینه با افزایش زاویه افقی افزایش می‌یابد که این میزان برای زاویه افقی ۸۵ درجه ۲ برابر زاویه ۵۵ درجه است. با توجه به نتایج می‌توان اشاره کرد که با تغییر زاویه عبوری لوله از گسل و انتخاب زاویه مناسب عبوری می‌توان از بوجود آمدن کرنش‌های اضافی در لوله‌های مدفون، جلوگیری کرد. از این‌رو، با بهینه کردن عوامل تأثیرگذار بر رفتار لوله‌های مدفون عبوری از گسل می‌توان از خرابی لوله‌ها هنگام زمین‌لرزه جلوگیری به عمل آورد.

**واژه‌های کلیدی:** لوله‌های مدفون، اندرکنش خاک-لوله، تحلیل غیرخطی، جابه‌جایی گسل، زاویه عبوری لوله

## مقدمه

لوله‌های مدفون در جوامع مدرن از شریان‌های حیاتی به شمار می‌آیند و نقشی حیاتی و اساسی را در چرخه زندگی بشری ایفا می‌کنند. در ایران حدود سه هزار کیلومتر خط لوله انتقال نفت و گاز وجود دارد که با احتساب خطوط لوله بین چاهها، مراکز جمع‌آوری و پالایشگاه‌ها حدود هفتاد هزار کیلومتر خواهد بود [۱]. با توجه به این‌که خطوط لوله در سطح وسیعی گسترش می‌یابند، از این رو، در اثر خطرهای گسلش، زمین لغزش، تغییر مکان‌های ناشی از روان‌گرایی، ترک‌های زمین و حرکت‌های شدید زمین دچار آسیب‌دیدگی می‌گردند. فراهم‌آوری خدمت‌های مداوم و ایمن برای افراد جامعه، حفظ ایمنی محیط زیست و حفاظت از سرمایه‌گذاری‌های کلان، نیازمند طراحی شریان‌های حیاتی در برابر پدیده‌هایی چون زمین‌لرزه است. برای نیل به این هدف لازم است بارهای وارد بر خطوط لوله مدفون و منشأ آسیب‌پذیری آن‌ها شناسایی و با استفاده از روش‌های تحلیلی یا عددی، رفتار خطوط لوله مدفون در برابر بارهای وارد برسی شود.

پس از زمین‌لرزه سن فرناندو (۱۹۷۱) مشاهده شد که آسیب‌پذیری لوله‌های با اتصال‌های صلب بیش‌تر از اتصال‌های شکل‌پذیر است. اغلب آسیب‌های وارد بـه لوله‌ها به سبب ارتعاش و شکست‌ها از نوع لهیدگی و خمشی در لوله و در رفتگی و شکست برشی در محل اتصال بوده است. هم‌چنین در محل گسل‌ها، شکست ناشی از کمانش نیز به وقوع پیوسته بود [۱]. در بررسی‌های پس از زلزله سانفرانسیسکو (۱۹۰۶) مشاهده شد که شدت خرابی لوله‌ها در اثر حرکت‌های گسل به مراتب بیش‌تر از خرابی ناشی از ارتعاش‌های زمین بوده است. در زمین‌لرزه آلاسکا (۱۹۶۴)، حرکت گسل‌ها و نشست‌های ناهم‌گون از عمدۀ ترین دلایل شکست لوله‌ها گزارش شده است. پس از زمین‌لرزه گیلان (۱۳۶۹) بیش‌تر آسیب‌های وارد بر لوله‌ها به دلیل شکننده و ترد بودن لوله‌ها و قطع گسل‌های سطحی از طرف خط لوله تشخیص داده شد [۲].

در یکی از اولین تحقیقات انجام شده پیرامون لوله‌های عبوری از گسل، کندی و همکاران (۱۹۷۷) نیروهای جانبی اعمالی از جانب خاک به خط لوله را در نظر گرفتند. در این روش

تغییر شکل‌های به وجود آمده در خط لوله منحصر به تغییر طول محوری است و از سختی خمی لوله صرف‌نظر شده است. آن‌ها با اصلاح مدل‌های ابتدایی، منحنی تغییر شکل یافته خط لوله را با شعاع انحنای ثابت در نظر گرفتند. در این مدل، نیروهای اصطکاک طولی خاک در قسمت‌های مستقیم متفاوت از آن در نواحی نزدیک خط گسل در نظر گرفته می‌شود [۳]. هرچند مدل کندی و همکاران (۱۹۷۷) ارزشمند است، اما به دلیل صرف‌نظر کردن از سختی خمی، خطای متنابه‌ی را بر نتایج تحمیل می‌کند. وانگ و یاه (۱۹۸۵) با تصحیح مدل کندی تأثیر سختی خمی را نیز بر پاسخ خط لوله در برابر حرکات گسل اضافه کردند. این پژوهش صرفاً حرکات امتدادی گسل را در بر می‌گرفت. مدل ارائه شده وانگ و یاه (۱۹۸۵) نسبت به مدل کندی و همکاران (۱۹۷۷) به دلیل در نظر گرفتن سختی خمی منجر به نتایج مناسب‌تری می‌شود و لیکن این نتایج به دلیل ثابت انگاشتن انحنای خط لوله همراه با خطا است [۴]. چیو و همکاران (۱۹۹۴) به منظور رفع نقیصه مدل وانگ و یاه (۱۹۸۵) با استخراج معادلات دیفرانسیل توابع جابه‌جایی مقاطع لوله، انحنای خط لوله را متغیر فرض کردند. معادلات مذکور در صورت همراهی با معادلات تعادل تشکیل دستگاه معادلات دیفرانسیلی را می‌دهد که به روش‌های عددی قابل حل است [۵].

تاکادا و همکاران (۱۹۹۸) با در نظر گرفتن تغییر شکل مقطع لوله در اثر حرکات گسل، روشی جدید برای محاسبه بیشینه کرنش به وجود آمده در جداره لوله مقاطع با گسل ارائه کردند. آن‌ها با استفاده از مدل تلفیقی تیر-پوسته برای خط لوله، خصوصیات غیرخطی مصالح و هندسی را در نظر گرفتند. مدل‌سازی بخشی از طول لوله که در نزدیکی خط گسل قرار داشت با استفاده از المان‌های پوسته‌ای و در نواحی دورتر از خط گسل با استفاده از المان تیر انجام شده است. مبنای روش ایشان استخراج رابطه میان کرنش بیشینه در جداره لوله و زاویه خمش به وجود آمده در نقطه مفروضی از خط لوله در نزدیکی گسل است که موقعیت نقطه مذکور بر اساس روابط ارائه شده در روش کندی و همکاران (۱۹۷۷) به دست می‌آید [۶]. عبدالون و همکاران (۲۰۰۹) آزمایش‌هایی برای بررسی پاسخ لوله به حرکت‌های گسل انجام داده‌اند. پژوهش آن‌ها شامل نتایج حاصل از پنج آزمایش سانتریفیوژ است که تأثیر پارامترهای نظری رطوبت خاک،

عمق دفن نسی، نرخ جابه‌جایی گسل و قطر لوله را بر لوله‌های پلی اتیلن با چگالی زیاد بررسی شده است. نتایج نشان داد که پاسخ لوله تحت اثر گسل راستا لغز از محتوای رطوبت خاک و نرخ جابه‌جایی گسل تأثیر نمی‌پذیرد، ولی عمق دفن نسی و قطر لوله روی کرنش لوله تأثیرگذار است [۷]. در پژوهش‌های جوشی و همکاران (۲۰۱۱) با استفاده از راهنمای طرح لرزه‌ای لوله‌های مدفون به بررسی پاسخ لوله تحت جابه‌جایی ناشی از گسل معکوس پرداخته شده است. نتایج پژوهش‌ها نشان داد در گسل‌های معکوس، انتخاب امتداد موازی با گسل می‌تواند موجب افزایش ظرفیت خط لوله شود. هم‌چنین استفاده از خاک دانه‌ای شل در اطراف لوله و انتخاب روکش صاف و سخت برای لوله موجب عمل کرد بهتر آن‌ها در جابه‌جایی‌های ناشی از گسل‌های معکوس می‌شود [۱۰]. وزوراس و همکاران (۲۰۱۰) نیز پاسخ خط لوله تحت جابه‌جایی ناشی از گسل‌های امتداد لغز را بررسی کردند. در پژوهش آن‌ها زاویه گسل و خط لوله فقط به صورت عمودی در نظر گرفته شده و با تغییر مشخصات خاک، پاسخ لوله را بررسی کردند [۱۱]. ساویدس و همکاران (۲۰۰۵) رفتار لوله تحت گسلش نرمال را با روش المان محدود تحلیل و نشان دادند که استفاده از روش کندی و همکاران (۱۹۷۷) در مقایسه با روش‌های المان محدود، مقادیر بیشتری برای کرنش محوری بیشینه به دست می‌آید [۱۲].

در پژوهش‌های گذشته به تحلیل کرنش‌ها و تلاش‌ها در طول لوله با بهره‌گیری از روش‌های مختلف پرداخته و هر یک به تناسب روش استفاده شده و فرضیات اعمال شده نتایج را ارائه کرده‌اند که به علت در نظر گرفتن فرضیه‌های ساده کننده از دقت نتایج کاسته شده است. در این مقاله از روش آنالیز شبیه‌سازی حرکات سه‌بعدی گسل با اعمال جابه‌جایی‌های معین در پایه فنرها غیرخطی بهره‌گیری شده است. روابط استفاده شده برای شبیه‌سازی فنرها با آزمایش‌های تجربی به دست آمده‌اند که از روش‌های تحلیل مبتنی بر تئوری، دقیق‌تر است. در این تحقیق با استفاده از روش تحلیل مذکور و بهره‌گیری از نرم‌افزار المان محدود تأثیر پارامترهای مختلف از قبیل طول مهاری لوله، میزان جابه‌جایی گسل، زاویه اصطکاک داخلی خاک و زاویه عبوری لوله از گسل عادی، بررسی شده است. برای بررسی عوامل تأثیرگذار بر پاسخ لوله عبوری از گسل از روابط پیشنهادی راهنمای طرح لرزه‌ای لوله‌های مدفون (ویرایش

(۲۰۰۵) برای تطابق شرایط در نرمافزار با شرایط واقعی محیطی استفاده شده است. با توجه به این که در این راهنمای سیستم آحاد انگلیسی برای پارامترهای مختلف استفاده شده است، نتایج حاصل در این تحقیق نیز در سیستم آحاد انگلیسی ارائه شده است [۸].

### مدل‌سازی سیستم لوله-خاک

برای در نظر گرفتن رفتار غیرخطی خاک و رفتار الاستو-پلاستیک لوله، مدل‌سازی لوله و محیط اطراف در نرمافزار المان محدود ANSYS انجام شده است. از جنبه‌های اساسی در مدل‌سازی لوله، توجه به منحنی مشخصه مصالح آن است که در این تحقیق منحنی تنش-کرنش مصالح لوله مدفون به صورت سه خطی در نظر گرفته شده است. این منحنی متشکل از سه ناحیه کشسان، نیمه‌خمیری و خمیری کامل است. در تمامی مدل‌ها از خصوصیات لوله استفاده شده است که در آن مدول الاستیسته لوله برابر با  $ksi_{30000}$ ، تنش تسلیم  $X65 API$  و هم‌چنین تنش سخت‌شوندگی فولاد برابر با  $ksi_{74/8}$  است که به ازای کرنش  $67/5\%$  قابل دست‌یابی است.

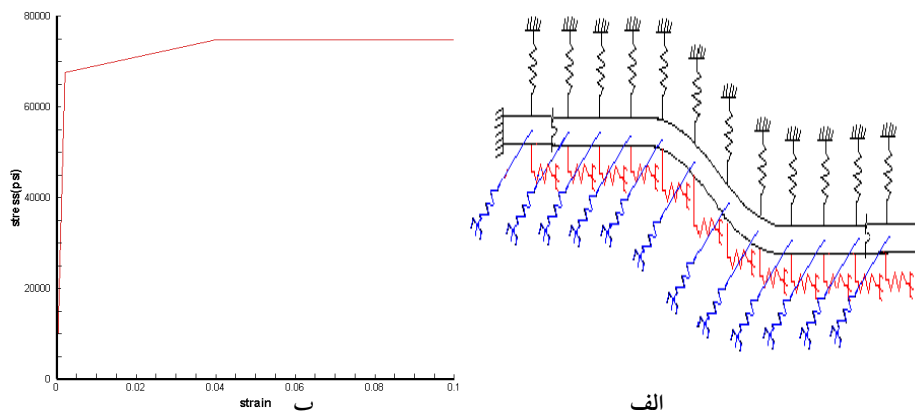
برای مدل‌سازی خاک اطراف لوله مطابق پیشنهاد راهنمای طرح لرزه‌ای لوله‌های مدفون، از فنر معادل در جهت‌های افقی، جانبی و قائم بهره گرفته شده است. در مدل‌سازی، یک سر فنر به لوله متصل و سر دیگر آن با شرایط گیردار در نظر گرفته و جابه‌جاوی‌های گسل نیز در سمت گیردار فنر اعمال شده است. از سری المان‌های موجود در نرمافزار ANSYS المان COMBIN 39 بهمنظور مدل‌سازی رفتار خاک انتخاب شده که یک المان غیرخطی است و با دو گره ابتداء و انتهای تعریف می‌شود. این المان برای جابه‌جاوی‌های بزرگ کاربرد داشته و در هر گره از المان امکان تعریف سه درجه آزادی انتقالی وجود دارد. المان تیر استفاده شده در این تحقیق المان PIPE20 است که در هر یک از گره‌های ابتدایی و انتهایی این المان سه درجه آزادی انتقالی و سه درجه آزادی چرخشی در نظر گرفته شده است. این المان توانایی در نظر گرفتن مشخصات غیرخطی هندسی و مصالح لوله را دارد. المان لوله به صورت چهار وجهی مشبندی شده و برای هر المان نیز سه فنر معادل برای مدل‌سازی خاک در نظر گرفته

شده است. با تعیین سختی فنرها و مشخصات لوله، تحلیل غیرخطی برای محاسبه تنش‌ها، کرنش‌ها و نیروهای لوله انجام شده است. همچنین از لحاظ مهاری نیز در دو انتهای لوله با تکیه‌گاه گیردار به صورت کامل مهار شده است. شکل ۱ الف و ب، به ترتیب شکل کلی مدل سیستم لوله-خاک و همچنین رابطه تنش-کرنش مصالح لوله را نشان می‌دهد. با این فرض که خاک اطراف لوله همسان باشد، نیروی عکس‌العمل خاک در برابر حرکت محوری و جانبی مستقل از جهت حرکت است. به عبارت دیگر فنرها افقی و جانبی رفتار مشابهی در کشش و فشار از خود نشان می‌دهند ولی در جهت قائم خاک در کشش و فشار رفتار متفاوتی دارد. همچنین عکس‌العمل خاک اطراف لوله نسبت به حرکت بالارونده لوله کمتر از عکس‌العمل آن نسبت به حرکت پائین‌رونده لوله است که نتایج به دست آمده از روابط (۲) تا (۵) در شکل ۲ نشان داده شده است. فعالیت گسل باعث جابه‌جایی زمین در جهات  $x$ ,  $y$  و  $z$  به مقدار  $\Delta x$  و  $\Delta y$  و  $\Delta z$  شده که محور  $x$  به موازات خط لوله و مماس بر سطح زمین و حرکت‌های گسل با اعمال جابه‌جایی در پایه فنرها مطابق شکل ۳ در نظر گرفته می‌شود. تصویر زاویه تقاطع لوله با خط گسل در صفحات قائم و افق به ترتیب با نمادهای  $\beta$  و  $\psi$  نشان داده شده است. در این مقاله به پارامترهای مذکور به ترتیب مؤلفه قائم و مؤلفه افقی زاویه تقاطع گفته می‌شود که از رابطه (۱) به دست می‌آید:

$$\beta = \tan^{-1} \left( \frac{\Delta y}{\Delta x} \right) \quad \psi = \tan^{-1} \left( \frac{\Delta z}{\Delta x} \right) \quad \Delta = \sqrt{\Delta x^2 + \Delta y^2 + \Delta z^2} \quad (1)$$

برای راستی آزمایی مدل از نمونه مثال راهنمای طرح لرزه‌ای لوله‌های مدفون، که لوله‌ای با قطر ۴۸ اینچ، طول ۹۰۰ فوت، ضخامت ۰/۴۶۹ اینچ و عمق دفن ۳۶ اینچ در خاک ماسه‌ای با زاویه اصطکاک داخلی ۳۵ درجه و جرم مخصوص ۱۰۰ پوند بر فوت مکعب است، استفاده شده است. نمودار کرنش حاصل از مدل المان محدود در طول لوله با نمودار موجود در راهنمای طرح لرزه‌ای لوله‌های مدفون مقایسه شده است که انطباق قابل قبولی بین دو منحنی وجود دارد (شکل ۴). نحوه اعمال جابه‌جایی گسل در راهنمای طرح لرزه‌ای لوله‌های مدفون و این مطالعه به صورت تدریجی است، بدین معنی که جابه‌جایی با رشد یک اینچ اعمال و در پایان

هر مرحله از جابه‌جایی برای عمود ماندن راستای فنرها بر محور لوله، مکان پایه فنرها اصلاح شده است. این روش در تحقیقات جوشی و همکاران (۲۰۱۱) نیز به کار گرفته شده است.



شکل ۱. الف) مدل عناصر محدود سیستم لوله-خاک، ب) نمودار تنش-کرنش مصالح لوله

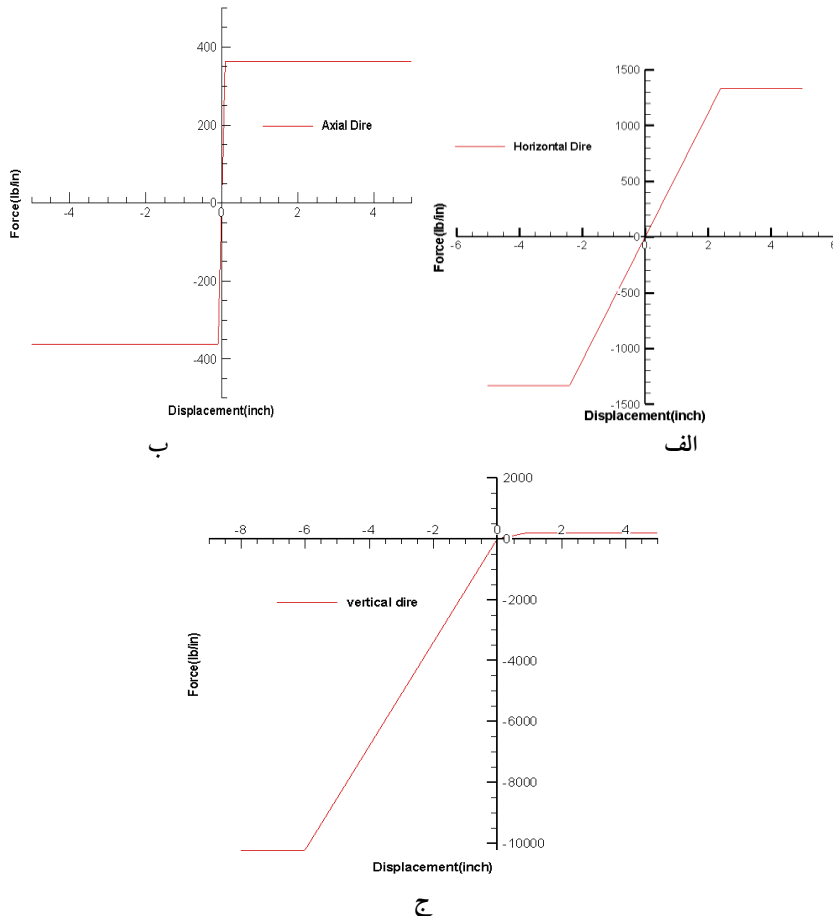
برای مدلسازی خاک اطراف لوله با فنر در راستای محوری که نشان‌دهنده عکس‌العمل خاک در برابر جابه‌جایی لوله در راستای محور آن است، حداقل بار نهایی فنر محوری  $t_u$  در معادله (۲) بیان می‌شود [۱].

$$t_u = \pi D H \bar{\gamma} \frac{1+k_0}{2} \operatorname{tg} \delta + \pi D \alpha C \quad (2)$$

که در آن  $D$  قطر خارجی لوله،  $C$  چسبندگی خاک،  $H$  فاصله قائم مرکز لوله تا سطح زمین،  $\delta$  برابر با زاویه اصطکاک سطحی بین خاک و لوله،  $\bar{\gamma}$  وزن مخصوص مؤثر خاک است. در رابطه (۲)  $\phi^* = f^*$  مقادیر مطابق با پیشنهاد راهنمای طرح لرزه‌ای لوله‌های مدفون به جنس لوله و سطح ظاهری آن وابسته است و هم‌چنین  $\phi$  زاویه اصطکاک داخلی خاک است.

ضریب  $\alpha$  بر حسب ضریب چسبندگی خاک از رابطه (۳) به دست می‌آید:

$$\alpha = 0.608 - 0.123C - \frac{0.274}{C^2 + 1} + \frac{0.695}{C^3 + 1} \quad (3)$$



شکل ۲. (الف) منحنی مشخصه فنرهای افقی، (ب) منحنی مشخصه فنرهای محوری، (ج) منحنی مشخصه فنرهای قائم

در روابط مذکور ضریب چسبندگی  $C$  بر حسب پوند بر فوت مرربع است و فرض بر این است که انتقال بار نهایی محوری به ازای جابه‌جایی نسبی  $\Delta_{tu}$  رخ می‌دهد. مقادیر جابه‌جایی نسبی بر حسب نوع خاک در راهنمای طرح لرزه‌ای لوله‌های مدفون ارائه شده است. بار نهایی فنرهای جانبی  $P_u$  به ازای جابه‌جایی نسبی  $\Delta_{pu}$  قابل حصول است که در رابطه (۴) بیان می‌شود [۸] :

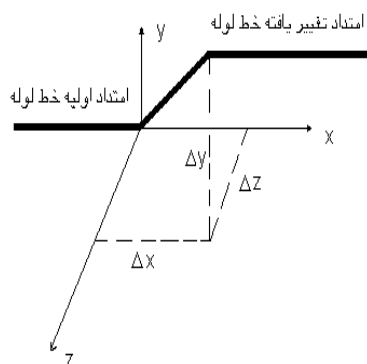
$$P_u = N_{ch} \cdot C \cdot D + N_{qh} \cdot \bar{\gamma} \cdot H \cdot D \quad (4)$$

که در آن:

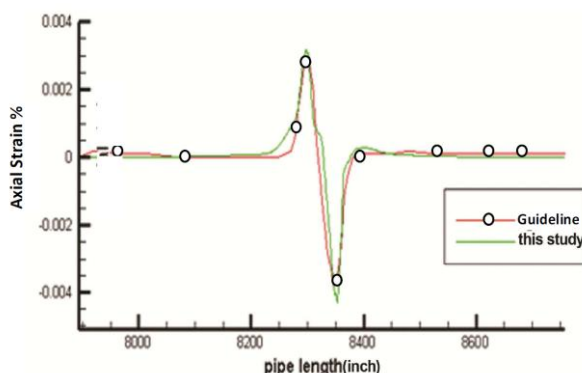
$$N_{ch} = a + bx + \frac{c}{(x+1)^2} + \frac{d}{(x+1)^3} \leq 9.0$$

$$N_{qh} = a + bx + cx^2 + dx^3 + ex^4$$

$$x = \frac{H}{D}$$



شکل ۳. نمای سه بعدی حرکات گسل



شکل ۴. مقایسه کرنش در طول لوله برای مدل راهنمای طرح لرزه‌ای لوله‌های مدفون با مدل المان محدود

ضرایب ( $a, b, c, d, e$ ) و مقدار جابه‌جایی نسبی مورد نیاز ( $x$ ) برای نیل به بار نهایی در راهنمای طرح لرزه‌ای لوله‌های فلزی مدفون ارائه شده است.

بر اساس تحقیقات انجام شده، فنرهای قائم در کشش و فشار به صورت متفاوت با یکدیگر عمل می‌کند، بنا بر این نیروی عکس‌العمل نهایی خاک در برابر حرکت پائین رونده لوله برابر با  $q_d$  و در برابر حرکت بالارونده لوله برابر با  $q_u$  است که بار نهایی  $q_d$  به‌ازای جابه‌جایی نسبی  $\Delta_{qd}$  و بار نهایی  $q_u$  به‌ازای جابه‌جایی نسبی  $\Delta_{qu}$  نتیجه می‌شود. مقادیر پارامترهای تعریف شده از روابط (۵) و (۶) به دست می‌آید [۸]:

$$q_d = N_c CD + N_q \bar{\gamma} HD + N_\gamma \gamma \frac{D^2}{2} \quad (5)$$

$$N_c = [\cot(\phi + 0.001)] \exp[\pi \tan(\phi + 0.001)] \tan^2\left(45 + \frac{\phi + 0.001}{2}\right) \quad (5)$$

$$N_q = \exp(\pi \tan \phi) \tan^2(45 + \frac{\phi}{2})$$

$$N_\gamma = e^{0.18\phi - 2.5}$$

$$q_u = N_{cv} \cdot C \cdot D + N_{qv} \cdot \bar{\gamma} HD \quad (6)$$

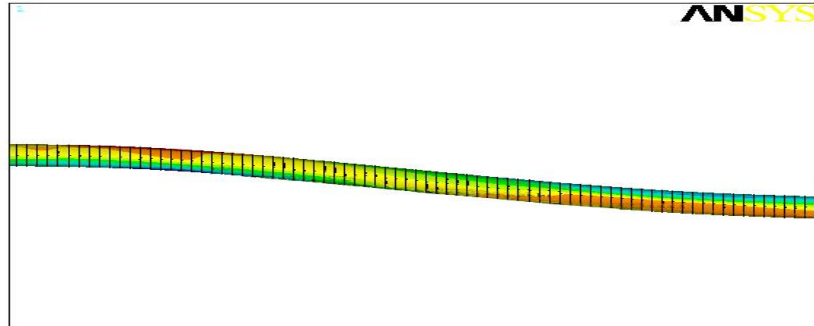
$$N_{qv} = \frac{\phi H}{44D} \leq N_q$$

$$N_{cv} = 2 \left( \frac{H}{D} \right) \leq 10$$

در روابط مذکور،  $\phi$ ، زاویه اصطکاک داخلی خاک بر حسب درجه است و مقادیر  $\Delta_{qd}$  و  $\Delta_{qu}$  در راهنمای ارائه شده است. بر اساس روابط ارائه شده برای مدل‌سازی فرها و نکات ذکر شده در مورد مدل‌سازی لوله به روش المان محدود، مدل‌سازی در نرم افزار انجام و نمونه‌ای از نتایج مدل آنالیز شده در شکل ۵ آورده شده است.

به طور نمونه محاسبه سختی فر معادل خاک در حالت حرکت بالارونده لوله برای خاک و لوله‌ای که در راستی آزمایی مدل استفاده شده است، به‌این شرح است. با توجه به رابطه (۶) و مقادیر فرض شده  $N_{qv} = 0.994$  و  $D = 4 \text{ ft}$ ،  $H = 5 \text{ ft}$  و  $\gamma = 1000 \text{ lb/ft}^3$  به دست آمده و سپس مقدار نیروی نهایی  $q_u = 1988 \text{ lb/ft}$ ، به دست می‌آید. با توجه به‌این که طبق پیوست B راهنمای طرح لرزه‌ای لوله‌های مدفون برای ماسه چگالی متوسط، حداقل نیرو تحت جابه‌جایی  $10\%$  اینچ به دست می‌آید، با معلوم بودن جابه‌جایی و نیرو سختی فر محاسبه و در نرم‌افزار استفاده می‌شود. توضیح این‌که در محاسبه سختی هر فر فرض شده

است که حداکثر نیرو تحت جابه‌جایی مشخص برای انواع خاک‌ها و فنرها به دست می‌آید. چنان‌که در راهنمای طرح لرزه‌ای لوله‌های مدفون اشاره شده است، مقادیر این جابه‌جایی در انواع حالت‌ها مشخص و محاسبه مقادیر حداکثر نیرو نیز بر اساس روابط (۲) تا (۶) است.



شکل ۵. کرنش محوری الاستیک موجود در لوله تحت جابه‌جایی ۳۰ اینچ گسل، زاویه عبوری ۹۰، با مشخصات ذکر شده برای خاک و لوله در مدل راستی آزمایی

### عوامل مؤثر بر پاسخ لوله

در اثر حرکت‌های بزرگ زمین، تنش ایجاد شده در خط لوله از حد تسلیم فراتر رفته و مصالح لوله وارد مرحله غیرخطی شده و در نتیجه استفاده از معیارهای غیرخطی مصالح و هندسی را ایجاب می‌کند. در حالت کلی حرکات گسل باعث به وجود آمدن نیروهای داخلی محوری، برشی، خمی و پیچشی در خط لوله می‌شود. مقاومت لوله‌های مدفون در برابر حرکت‌های گسل به عوامل بسیاری وابسته است. از جمله این عوامل می‌توان بهمیزان جابه‌جایی و نوع گسل، زاویه عبوری لوله از گسل، زاویه اصطکاک داخلی خاک و طول مهاری آن اشاره کرد که در ادامه به بررسی تأثیر ۴ مورد از پارامترهای اشاره شده می‌پردازیم. مشخصات لوله و خاک و همچنین پارامترهای متغیر به شرح جدول ۱ است.

### جدول ۱. مشخصات لوله-خاک و پارامترهای متغیر

مشخصات لوله (اینچ)	قطر لوله (اینچ)	طول لوله (فوت)	عمق دفن (اینچ)	وزن مخصوص خاک (پوند بر فوت مکعب)	زاویه اصطکاک داخلی خاک(درجه)	میزان جایه‌جایی (اینچ)	زواویای افقی و قائم عبوری از گسل (درجه)
۰/۴۶۹	۴۸	۹۰۰	۳۶	۳۰	۲۰، ۲۵، ۳۰، ۴۰، ۲۰، ۳۰، ۴۰، ۵۰، ۶۰، ۷۰، ۸۰، ۱۰۰، ۱۳۵ و ۱۲۰	۴۰، ۲۵، ۵	۸۵ و ۷۰، ۵۵

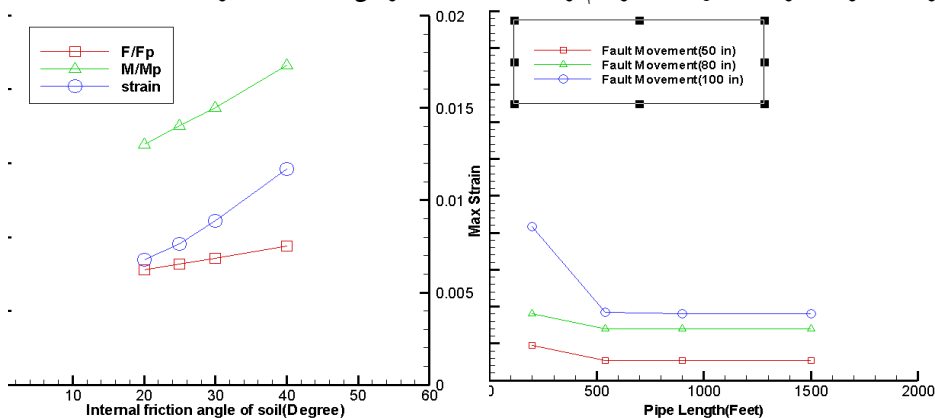
#### ۱. طول مهار شده لوله

یکی از عوامل مؤثر بر پاسخ لوله به حرکت‌های گسل، طول مهاری آن در طرفین گسل است که در عمل این طول می‌تواند با موقعیت خم‌های خط لوله، سهراهی‌ها و بی‌هایی که به صورت گیردار به خط لوله متصل شده است، تحت تأثیر قرار گیرد. طول مهاری در مدل‌های کندي و همکاران [۳]، وانگ و یاه [۴]، چیو و همکاران [۵]، هر کدام به یک میزان مشخص در نظر گرفته شده است. تاکادا و همکاران [۶]، نتایج تحقیق خود را به ازای طول کوتاهی از مدل ارائه کرده‌اند و در نتیجه از تأثیر طول مهاری بر پاسخ لوله که در برخی موارد بسیار چشم‌گیر است، صرف‌نظر کرده‌اند. در این مقاله برای بررسی تأثیر پارامترهای مؤثر بر رفتار لوله‌ها، ابتدا طول مهاری مؤثر یعنی طولی از لوله که پاسخ، تابعی از آن نباشد، تعیین شده است. به این منظور تغییرات کرنش بیشینه برای لوله‌های با طول‌های متفاوت محاسبه و ترسیم شده است. بر اساس شکل ۶ مشاهده می‌شود تغییرات کرنش بیشینه در لوله‌های با طول کوتاه تابعی از طولاست اما با افزایش طول لوله میزان پاسخ نیز کاهش و بعد از طول معینی پاسخ تابعی از طول نخواهد بود. بر اساس نمودار، طول ۵۰۰ فوت به عنوان طول مؤثر به دست آمده است که برای اطمینان در مدل‌ها از طول ۹۰۰ فوت استفاده شده است.

#### ۲. زاویه اصطکاک داخلی خاک

از مهم‌ترین فاکتورهای مؤثر بر پاسخ لوله، نوع خاک اطراف لوله و زاویه اصطکاک داخلی آن است. بر اساس روابط ارائه شده در راهنمای طرح لرزه‌ای لوله‌های مدفون، زاویه اصطکاک داخلی خاک تأثیر مستقیمی بر مقادیر نیروهای اندرکننی دارد و با افزایش زاویه اصطکاک

داخلی، نیروهای اعمالی از جانب خاک به لوله بیشتر و همچنین سختی فرهای جانی نیز افزایش می‌یابد. چنان‌که در شکل ۷ نشان داده شده افزایش نیروهای اندک‌کنشی بر افزایش سختی برتری داشته و با افزایش زاویه اصطکاک داخلی مقادیر کرنش بیشینه، نیرو و لنگر نرمال شده نیز افزایش می‌یابد. مقایسه لنگر خمی نرمال شده برای زوایای اصطکاک ۲۰ و ۴۰ درجه بیان‌گر افزایش حدود ۳۰ درصدی است. همچنین میزان کرنش بیشینه در این حالت حدود ۱۰۰ درصد افزایش نشان می‌دهد. توجه به روابط راهنمای طرح لرزه‌ای نشان می‌دهد که میزان تغییرات نیروهای فرهای قائم و جانبی ناشی از تغییر در زاویه اصطکاک داخلی خاک به مراتب بیشتر از تغییر در نیروی فرهای افقی است. بنا بر این تغییر زاویه اصطکاک داخلی برای تغییرات نیروی محوری تأثیر کم‌تری در مقایسه با کرنش بیشینه و لنگر دارد.



شکل ۶. تغییرات کرنش بیشینه بر حسب جابه‌جایی‌های شکل ۷. پاسخ لوله به حرکات گسل بر مختلف گسل در طول لوله

### ۳. جابه‌جایی گسل

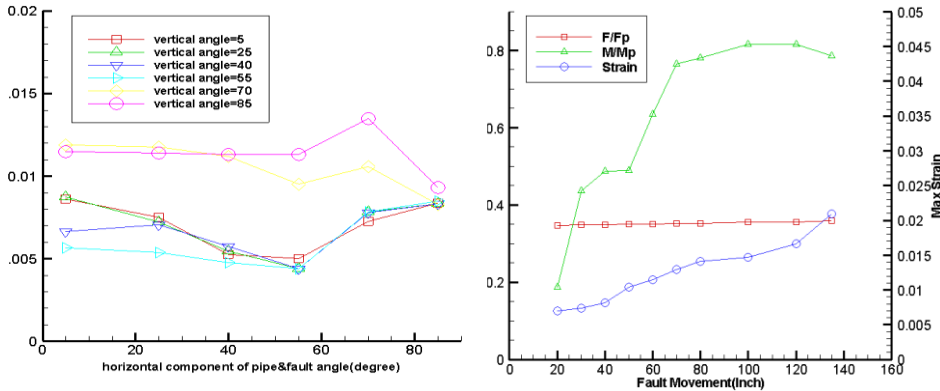
عامل دیگری که در پاسخ لوله به حرکت‌های گسل بسیار مؤثر است، میزان جابه‌جایی گسل است. تغییرات لنگر خمی بیشینه موجود در مقطع لوله نسبت به جابه‌جایی گسل در تحقیقات نیومارک و هال (۱۹۷۵)، کندي و همکاران (۱۹۷۷) و وانگ و یاه (۱۹۸۵) رفتارهای متفاوتی را نشان داده است. در مدل نیومارک و هال (۱۹۷۵) [۹] کرنش بیشینه در خط لوله

تنها ناشی از نیروی محوری به وجود آمده در مقطع لوله در اثر حرکات گسل در نظر گرفته شده است. کندي و همكاران (۱۹۷۷) از سختی خمشی لوله صرف‌نظرکرده و کرنش بيشينه به وجود آمده در خط لوله را ترکيبي از کرنش محوري و کرنش خمشي ناشي از انحنائي خط لوله در نزديكي گسل دانستند. در مدل‌های اين مقاله همه نicroهای وارد بر لوله و همچنين سختی محوري، خمشي و پيچشي لوله نيز در نظر گرفته شده است. براساس نمودار شكل ۸ کرنش بيشينه در لوله با افزايش جابه‌جايی گسل روندي افزايishi دارد به طوري که با افزايش ميزان جابه‌جايی گسل از ۲۰ به ۱۴۰ اينچ ميزان کرنش ۱۹۰ درصد افزايش پيدا می‌کند. همچنين نيروي محوري با افزايش ميزان جابه‌جايی گسل تقربياً مقدار ثابتی دارد که نشان می‌دهد نيروي محوري در لوله از افزايش جابه‌جايی گسل تأثير چندانی نمی‌پذيرد. بررسی تغييرات مقادير لنگر خمشي بيان‌گر اين است که لنگر خمشي ابتدا افزايش و سپس در جابه‌جايی‌های بزرگ‌تر روند کاهشي دارد. مقايسه لنگر نرمال شده در جابه‌جايی ۲۰ و ۱۴۰ اينچ نشان از افزايش ۲/۷۵ برابري دارد.

#### ۴. زاويه عبوری لوله از گسل

زاویه عبوری لوله از گسل از ديجر عوامل مؤثر در پاسخ لوله است. برای يافتن زاويه عبوری مناسب، ترکيبي از زاویه‌های افقی و قائم بررسی شده است. شكل ۹ تغييرات کرنش بيشينه را در طول لوله بر حسب تغييرات مؤلفه افقی زاويه عبور لوله از گسل با ثابت نگه داشتن مؤلفه قائم زاويه عبوری نشان می‌دهد. نتایج بيان‌گر آن است که در زوايای قائم کمتر از ۵۵ درجه با تغيير زاويه افقی تا حدود ۵۵ درجه ميزان کرنش بيشينه لوله مدفون روند کاهشي داشته و پس از زاويه افقی ۵۵ درجه با افزايش زاويه افقی، کرنش نيز افزايش می‌يابد که اين افزايش در زاويه ۸۵ درجه در مقايسه با زاويه ۵۵ درجه حدود دو برابر خواهد بود. همچنان با افزايش مؤلفه قائم زاويه عبوری (زوايای قائم ۷۰ و ۸۵ درجه) افزايش چشم‌گيری در کرنش بيشينه حتی در زوايای افقی کم مشاهده می‌شود. نكته قابل توجه اين است که در زاویه‌های قائم ۷۰ و ۸۵ درجه با افزايش زاويه افقی تا حدود ۵۵ درجه ميزان کرنش بيشينه ثابت مانده و بعد از آن تا زاويه افقی ۷۰ درجه روندي افزايishi داشته و سپس کاهش می‌يابد. با توجه به

نتایج می‌توان گفت تعیین زاویه عبوری مناسب در طراحی و اجرای لوله‌های مدفون بسیار حائز اهمیت است. با توجه به زوایای مختلف که در این تحلیل به کار گرفته شده است. زاویه افقی حدود ۵۵ درجه و زاویه قائم ۵ تا ۵۵ درجه کمترین کرنش بیشینه را دارند.



شکل ۹. تغییرات کرنش بیشینه، لنگر خمی و نیروی محوری بر حسب میزان جایه‌جایی گسل  
افقی و قائم زاویه عبوری از گسل  
**نتیجه‌گیری**

در این مقاله تأثیر پارامترهای مختلفی از جمله زاویه عبوری لوله از گسل، زاویه اصطکاک داخلی خاک و میزان گسلش بر پاسخ غیرخطی لوله‌های مدفون با استفاده از تحلیل المان محدود بررسی شده است. مدل‌سازی خاک با استفاده از روابط موجود در راهنمای طرح لرزه‌های لوله‌های مدفون و با به کارگیری فنر معادل در سه امتداد انجام و جایه‌جایی گسل نیز با اعمال جایه‌جایی در پایه فنرهای معادل شبیه‌سازی شده است. نتایج تحلیل‌ها نشان داد افزایش زاویه اصطکاک داخلی از ۲۰ به ۴۰ درجه موجب افزایش ۱۰ درصدی کرنش بیشینه در خط لوله می‌شود. همچنین با افزایش این پارامتر نیروی اندک‌ترنی حاصل از فشار خاک اطراف لوله افزایش یافته و مقادیر نیرو و لنگر نرمال شده نیز افزایش می‌یابند. مقایسه لنگر خمی نرمال شده برای زوایای اصطکاک ۲۰ و ۴۰ درجه بیان گر افزایش حدود ۳۰ درصدی است. به طوری که با افزایش میزان جایه‌جایی گسل از ۲۰ به ۱۴۰ اینچ میزان کرنش ۱۹۰ درصد افزایش پیدا می‌کند.

بر اساس نتایج می‌توان گفت افزایش جابه‌جایی گسل از ۲۰ به ۱۴۰ درصدی کرنش‌ها در لوله می‌گردد ولی تأثیر چندانی در مقدار نیروی محوری ندارد. همچنین بررسی تأثیر زاویه تقاطع لوله با گسل که یکی از مهم‌ترین عوامل مؤثر بر مقدار پاسخ لوله در هنگام وقوع زمین‌لرزه است، با ثابت نگه داشتن مؤلفه قائم زاویه عبوری در زوایای کمتر از ۵۵ درجه با افزایش زاویه افقی تا حدود ۵۵ درجه، میزان کرنش‌های بیشینه روند کاهشی داشته و پس از آن، کرنش بیشینه افزایش می‌یابد. براساس نتایج، میزان کرنش بیشینه در زاویه افقی ۸۵ درجه ۶ برابر مقدار آن در زاویه ۵۵ درجه است. با بررسی زاویه‌های مختلف برای تقاطع لوله با گسل، زاویه بحرانی دارای بیش‌ترین مقدار کرنش مشخص شده و ضروری است در طراحی و اجرای مسیرهای لوله‌های مدفون عبوری از گسل از این زوایا اجتناب گردد.

از راهکارهای اساسی مقابله با تأثیرات مخرب گسل بر خطوط لوله مدفون کاهش مقدار نیروهای اندرکنشی لوله- خاک است. توصیه می‌شود در نواحی نزدیک پهنه گسل از خاک‌های شل تا نیمه متراکم استفاده شود زیرا کاهش وزن مخصوص و زاویه اصطکاک داخلی خاک باعث کاهش نیروهای اندرکنشی خاک- لوله و در نتیجه موجب افزایش مقاومت خط لوله به حرکات گسل می‌شود. این نتیجه با پژوهش‌های جوشی و همکاران (۲۰۱۱) سازگار است.

#### ۵. فهرست نمادها

نماد	واحد	شرح
	فوت	جابه‌جایی افقی
	فوت	جابه‌جایی جانبی
	فوت	جابه‌جایی قائم
D	فوت	قطر خارجی لوله
C	پوند بر فوت مربع	چسبندگی خاک
H	فوت	فاصله قائم مرکز لوله تا سطح زمین
$\delta$	درجه	زاویه اصطکاک خاک با لوله
$\bar{\gamma}$	پوند بر فوت مکعب	وزن مخصوص مؤثر خاک
f		ضریب واپسیه به جنس لوله
$t_u$	پوند	بار نهایی فنر محوری

نماد	واحد	شرح
$\Delta_{tu}$		جابه‌جایی نسبی بار نهایی فنر جانبی
	پوند	
$\Delta_{pu}$	$q_d$	جابه‌جایی نسبی بار نهایی کششی فنر قائم
	پوند	بار نهایی فشاری فنر قائم
$q_u$		جابه‌جایی نسبی
$\Delta_{qd}$		جابه‌جایی نسبی
$\Delta_{qu}$		

### منابع

1. بیات ح., شکیب ح., تحلیل و طرح لرزه‌ای لوله‌های مدفون، تهران، مرکز تحقیقات ساختمان و مسکن (۱۳۸۲).
2. زلزله منجیل-رودبار ۳۱ خرداد-۱۳۶۹.، گزارش تحلیلی شماره یک، تهران، مؤسسه بین‌المللی زلزله شناسی و مهندسی زلزله (۱۳۷۰).
3. Kennedy R., Chow A., Wlliam R., "Fault Movement Effects on Buried Oil Pipeline", Transport Engineering Journal, ASCE, 103 (1977) 617-633.
4. Wang L., Yeh Y., "A refined seismic analysis and design of buried pipeline for fault movement", Earthquake Engineering and Structural Dynamics, 13 (1985) 75-96.
5. Chiou Y., Chi S., Chang H., "A study on buried pipeline response to fault movement", Pressure Vessel Technology, ASME, 116 (1994) 36-41.
6. Takada S., Liang J., Li T., "Shell-mode response of buried pipelines to large fault movements", Structural engineering, JSCE, 44A (1998) 1637-1646.

7. Abdoun T., Da ha A., O'Rourke M., Symans M., O'Rourke T., Palmer M., Harry E., Stewart B., "Factors influencing the behavior of buried pipelines subjected to earthquake Faulting", *Soil Dynamics and Earthquake Engineering*, 29 (3) (2010) 415-427.
8. "American Lifelines Alliance-ASCE", Guidelines for the Design of Buried Steel Pipe (2005).
9. Newmark N., Hall W., "Pipeline Design to Resist Large Fault Displacement", *Proceedings of U.S National Conference on Earthquake Engineering*, University of Michigan (1975) 416-425.
10. Joshi S., Prashant A., Deb A., Jain S.K., "Analysis of buried pipelines subjected to reverse fault motion", *Soil Dynamics and Earthquake Engineering*, 31 (2011) 930-940.
11. Vazouras p., Karamanos s., Dakoulas P., "Finite element analysis of buried steel pipelines under strike-slip fault displacements", *Soil Dynamics and Earthquake Engineering*, 30 (2010) 1361-1376.
- 12 Savidis S., Schepers W., Nomikos S., Papadakos G., "Design of a Natural Gas Pipeline Subjected to Permanent Ground Deformation at Normal Faults: A Parametric Study on Numerical vs", Semi-Analytical Procedures . 5th International Conference on Earthquake Geotechnical Engineering. Santiago, Chile (2011).